

## ПОРТФЕЛЬ РЕДАКЦИИ

БИТ

*Ф. Галиндо, Н. В. Дмитриенко, А. Карузо, А. Россодивита, А. А. Тихомиров,  
А. И. Труфанов, Е. В. Шубников*

### МОДЕЛИРОВАНИЕ СЛОЖНЫХ АТАК НА КОМПЛЕКСНЫЕ СЕТИ

#### Введение

Устойчивость сетевой архитектуры является одной из важнейших проблем построения эффективных сложных социальных, биологических, технических и других систем. Стоит обратить внимание, что для ряда сложных систем характерна высокая численность элементов, которая может достигать десятков и сотен тысяч, и нерегулярность связей. Таким системам и их сетевым моделям, обладающим нетривиальными топологическими свойствами, в наибольшей степени отвечает термин «комплексные».

Наиболее популярными и отвечающими реальности комплексными сетями в настоящее время являются модели Эрдёша—Реньи [1] и Барабаши—Альберта [2]. В первой плотность распределения связей отвечает закону Пуассона:

$$P(k) \sim e^{-\lambda} (\lambda^k)/k!$$

Эти сетевые модели также носят название случайных или экспоненциальных (E-сети). Во второй половине XX в. экспоненциальные сети являлись базовыми для анализа систем. С такого рода моделями связано развитие теории графов.

В 1998 г. в своей основополагающей работе [2] А.-Л. Барабаши (Albert Laslo Barabasi) с сотрудниками обратил внимание исследователей на то, что многие реальные сети (коммуникационные, веб-, социальные и метаболические) носят иной, нежели описываемые экспоненциальной моделью, характер. Авторами была предложена сетевая модель, в которой:

а) распределение связности (числа связей, или степени) отвечает степенному закону

$$P(k) \sim k^{-\gamma};$$

б) характеристикой является рост сети с введением новых узлов и новых связей, причем наблюдается так называемое предпочтительное присоединение;

в) использована терминология, простая и понятная для специалистов различных дисциплин.

Такая модель сети носит название безмасштабной (SF).

Графическое представление из [2] (Рис. 1) обошло весь мир и широко используется для демонстрации топологии экспоненциальных и безмасштабных сетей.

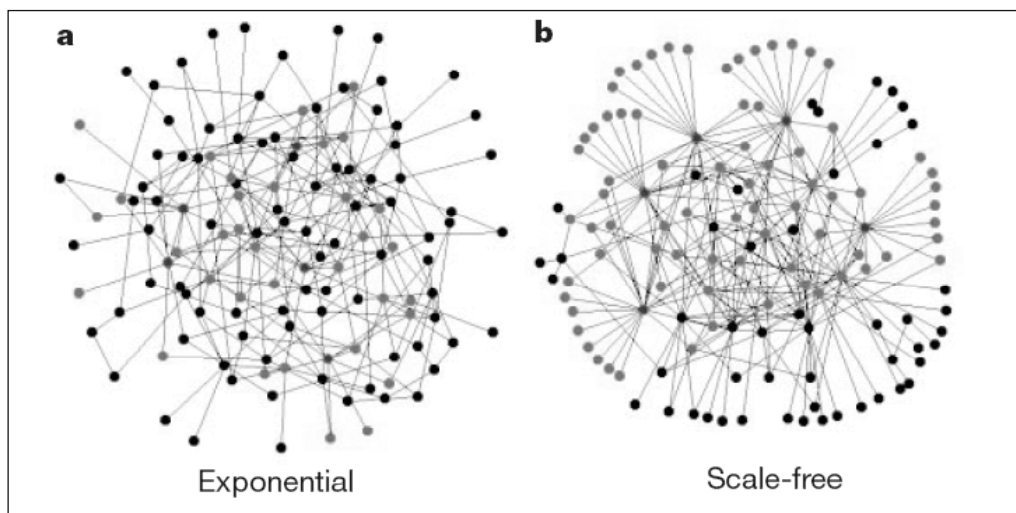


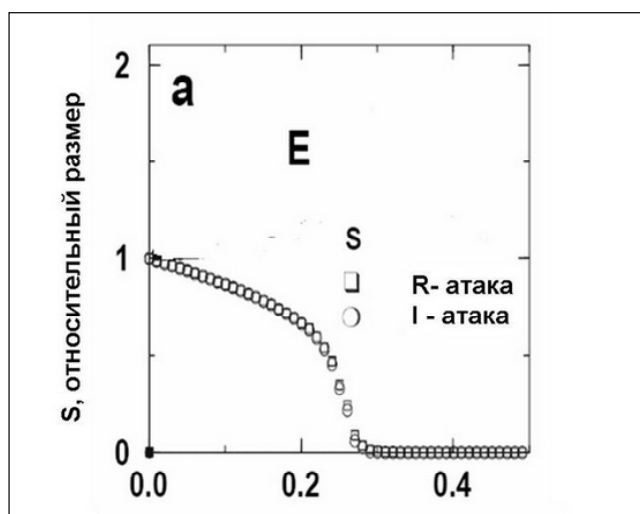
Рис. 1. Экспоненциальная (а) и безмасштабная (b) сети

Устойчивость этих двух разных архитектур, экспоненциальной и безмасштабной, к двум основным классам атак на узлы сети: случайным и целенаправленным, как оказалось, оказалась существенно различается.

Случайным атакам (отказам, сбоям, R-атакам) присущ случайный выбор атакуемого (уничтожаемого) узла. Классическая стратегия целенаправленных атак (I-атак) заключается в последовательном уничтожении узлов с максимальной связностью. Обычно последствия атак исследуемых сетей анализируются с помощью широкого набора метрик: регистрируются изменения диаметра, среднего связующего, среднего разделяющего, коэффициента кластеризации различных центральностей, размера максимального кластера и его относительных величин. На примере расчетов [3] (Рис. 2) изменения относительного размера максимального кластера  $S$  было установлено, что экспоненциальные сети в одинаковой степени уязвимы к R- и I-атакам (Рис. 2а). Безмасштабные же сети оказались устойчивы к случайным атакам и крайне уязвимы к атакам целенаправленным (Рис. 2б).

Действительно, целенаправленные атаки на SF-сети более эффективны, но они и более дорогостоящи.

В реальной жизни наблюдаются более сложные ситуации, т. е. обладающие различной уязвимостью элементы — узлы и связи — сетей различной топологии подвергаются неоднородным случайным и целенаправленным угрозам, причем в разнообразных комбинациях.



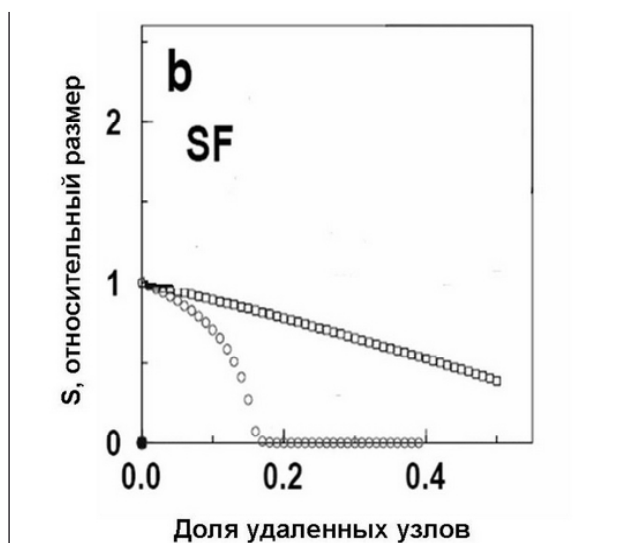


Рис. 2. Зависимость относительного размера максимального кластера в экспоненциальных (а) и безмасштабных (b) сетях, подвергнутых случайным (□) и преднамеренным (○) атакам

### Модель и метод исследования

Нами разработана обобщенная агентная модель эволюции сетевого ансамбля в условиях дестабилизирующих угроз. Эта модель, которую мы назвали RT-моделью, не только отражает топологию сетей, подобно известным подходам, но и включает ряд новаций, нацеленных именно на решение проблем безопасности.

Основными компонентами описательной конструкции сети являются: **модель эволюции** и **модель безопасности**.

**Модель эволюции** сети включает а) генерацию новых узлов, б) генерацию связей между узлами — в случайной, предпочтительной или иерархической схеме, б) «естественную» ликвидацию узлов и связей. Формируемые — эволюционирующие — сети отражают возможные случайную, безмасштабную и иерархическую топологии.

**Модель безопасности** учитывает, что основной мерой безопасности является риск:

$$\text{РИСК} = P * \text{ЦЕНА ПОТЕРИ},$$

где  $P$  — вероятность атаки.

В настоящее время исследователи стойкости комплексных сетей обычно полагают, что любые проявления угроз в отношении элементов сетевых ансамблей — узлов и связей — приводят к успешным атакам, т. е. к удалению узлов и связей.

Из известных определений в теории информационной безопасности следует, что атака — это всегда пара «источник угрозы — уязвимость», реализующая угрозу и приводящая к ущербу (см., например: [4]):

$$\text{РИСК} = P_{\text{угрозы}} * P_{\text{уязвимости}} * \text{ЦЕНА ПОТЕРИ},$$

где  $P_{\text{угрозы}}$  и  $P_{\text{уязвимости}}$  — соответствующие вероятности угрозы и уязвимости.

Отличительной особенностью развиваемой сетевой модели является детализация атак через подробное описание составных частей этой пары — источника и уязвимостей.

**Во-первых**, модель позволяет путем составления описаний источников угроз, близких к реальным, изучать более сложные атаки на системы, нежели в их традиционной для сетевых моделей трактовке. В предлагаемой модели не только сетевые ансамбли рассматриваются как динамические объекты, но и угрозы описываются распределенными во времени.



**Во-вторых**, данный подход дает возможность для каждого из узлов ввести параметр уязвимости (или защищенности), в отличие от большинства известных, где следствием атаки всегда является уничтожение узла или связи. Элементам сети приписываются величины их уязвимости, в общем случае, с  $P$  уязвимости, отличными от 1, и определяемыми объемом финансовых вложений  $F_i$  в безопасность  $i$ -го элемента:

$$P_{\text{уязвимости } i} = f(F_i).$$

Цена потери — как реакции сети на атаку — определяется выбором элемента из множества метрик  $M$  — тех индикаторов работоспособности, которые определяют главные целевые характеристики сетевых ансамблей.

В данной модели используются традиционные множества  $M$  для неориентированных и ориентированных графов: центральности — степенная (связность), мостовая, близости, собственных векторов; максимальный размер кластера, кратчайшие пути, максимальные потоки, потоки минимальной стоимости и др., что позволяет применять модель для большинства социальных, биологических и технических объектов, причем в постановке задач, прежде не подвергавшихся анализу исследователей.

Этическая компонента модели изложена в [5], там же приведены результаты формирования сети с учетом этической составляющей.

Модель **RT** реализована в пакете Maple 12 в виде инструментального программного средства прогностического и описательного моделирования.

### Основные результаты и выводы

В настоящей работе изучены и представлены два новых приближенных к реальности примера поведения комплексных сетей в поле угроз. Мы приняли в расчет то, что случайные сети являются в меньшей мере чувствительными к характеру атак, и то, что иерархические сети идеологически ориентированы на высокую защищенность узлов и связей. Поэтому для данного исследования мы остановили свой выбор в основном на безмасштабных сетях как наиболее характерных: выбор сетевой топологии определялся ее выразительностью для задач безопасности и современным звучанием. В каждом примере моделировались SF сети с показателем степенного закона  $\gamma = 2$  и 1000 узлами.

Пример 1. Развитие данной модели позволяет провести имитацию атак в виде комбинированных угроз (R — случайной и I — целенаправленной) незащищенным узлам сети в прямой (R-угрозы + I-угрозы) и обратной (I-угрозы + R-угрозы) последовательности.

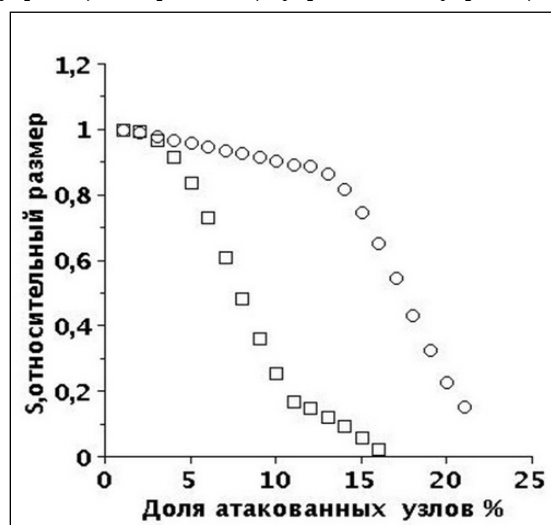


Рис. 3. Зависимость относительного размера максимального кластера в безмасштабных сетях, подвергнутых атакам в различной последовательности: I+R (□) и R+I(○)



На рис. 3 представлены результаты изменения такого показателя, как относительный размер максимального кластера, в зависимости от числа атакованных узлов безмасштабной сети. Видно, что атакующая комбинация I-R является более эффективной, нежели R-I.

В случае надежного опознавания целенаправленной атаки защитной стороне выгодна перестройка топологии сети с SF на E (размер дополнительно моделируемой экспоненциальной сети составлял также 1000 узлов) и с обратным переходом от экспоненциальной к безмасштабной с изменением характера атаки (Рис. 4).

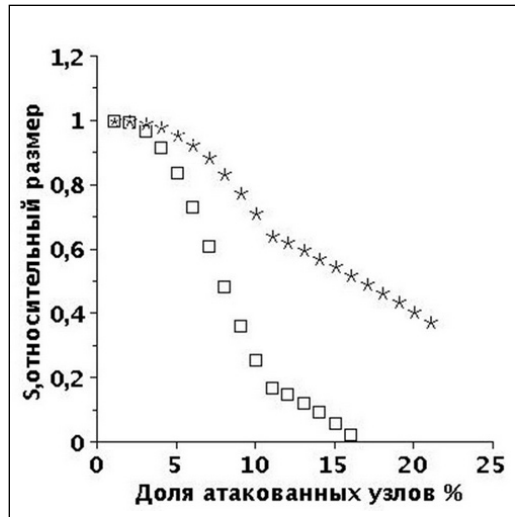


Рис. 4. Зависимость относительного размера максимального кластера в безмасштабной сети (□) и сети с перестройкой топологии: экспоненциальной + безмасштабной (\*), подвергнутой атакам в последовательности: I+R

Примером уязвимой топологии может служить пример сети продовольственного снабжения Ленинграда в 1941 г. Тогда немецкая авиация произвела целенаправленную атаку — бомбовый удар по Бадаевским складам, что в значительной степени осложнило продовольственную ситуацию и оборону города в целом. В сознании ленинградцев пожар на Бадаевских складах стал символом начала голода 1941–1942 г. Рассредоточение запасов продовольствия — переход к топологии экспоненциальной сети — мог бы повысить стойкость сети снабжения.

Пример 2.

В данном примере исследовалась реакция безмасштабной сети на целенаправленные угрозы защищаемым элементам — узлам. Полагали, что вероятность успешной атаки на узел меняется только с изменением  $\rho$  уязвимости, которая уменьшается экспоненциально с увеличением «толщины» защитного барьера  $d_i$ , определяемого традиционным комплексом мер безопасности: морально-этическими, правовыми, организационными, техническими, физическими и математическими, и выражаемого величиной затрат, т. е.  $d_i \sim F_i$ , и в этом случае:

$$\rho_{\text{уязвимости } i} \sim \exp(-\mu F_i),$$

где  $\mu$  — некий коэффициент, задающий эффективность использования финансовых средств.

На рис. 5 представлены зависимости относительного размера максимального кластера в безмасштабной сети при различных объемах равномерно распределенного по узлам финансирования защитных мероприятий ( $F0_i = 0$ ;  $F1_i = 1/\mu$ ;  $F2_i = 2/\mu$ ).



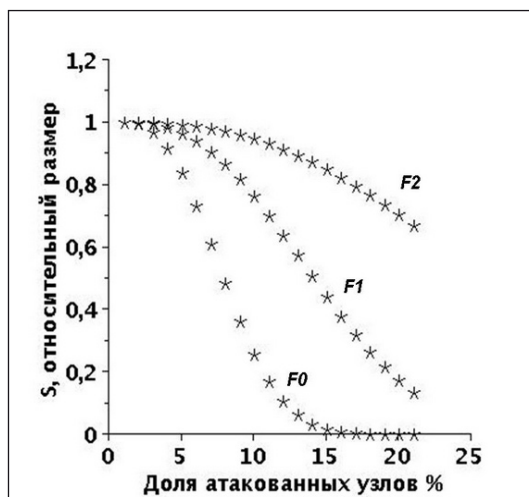


Рис. 5. Зависимость относительного размера максимального кластера в безмасштабной сети при различных объемах финансирования защитных мероприятий:

$$F0_i = 0; F1_i = 1/\mu; F2_i = 2/\mu$$

На практике различные элементы сети — узлы и связи — защищены (финансируются) в разной степени. Так, обычно наиболее важные (в любом смысле) агенты сети защищаются в большей степени. Полагая, что стратегия безопасности определяет распределение средств между узлами, мы исследовали реакцию сети на угрозы для случаев:

а) отсутствия инвестиций:  $F0_i = 0$ ;

б) трех возможных стратегий распределения инвестиций в защиту, которые зависят от степени узла (при одинаковом суммарном объеме):

$$F1_i = \text{Const}(k_i) = 1/\mu; F2k_i = 1.9k_i/\mu; F2k2_i = 35k_i^2/\mu$$

$$\sum_{i=1}^{1000} F1_i = \sum_{i=1}^{1000} F2k_i = \sum_{i=1}^{1000} F2k2_i$$

Предполагалось, что противоборствующей стороной использовалась классическая стратегия целенаправленных атак с последовательными атаками на узлы максимальной связности. Результаты расчетов изменения относительного размера максимального кластера для этих четырех вариантов защитной стратегии приведены на рис. 6.

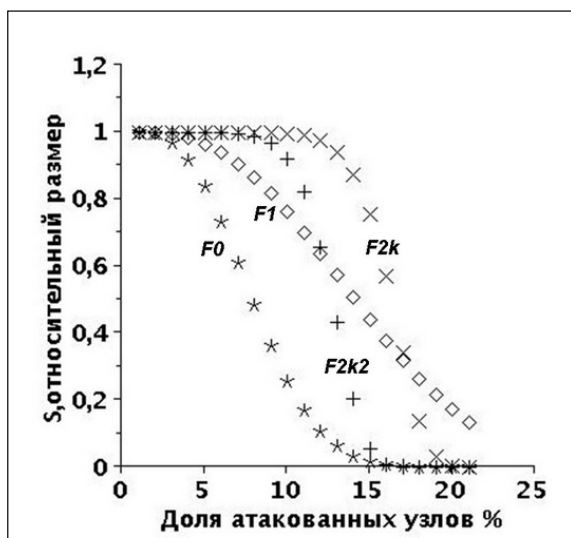


Рис. 6. Зависимость относительного размера максимального кластера в безмасштабной сети при различных защитных стратегиях мероприятий:  $F0_i = 0; F1_i = 1/\mu; F2k_i =$

$$1.9k_i/\mu; F2k2_i = 35k_i^2/\mu$$



Видно, что стратегия с чрезмерной защитой узлов максимальной связности (т. е.  $F_i \sim k_i^\lambda$ ) не является оптимальной, такое поведение можно объяснить тем, что на защиту элементов меньшей степени попросту не хватает средств.

Выстраивая оптимальную стратегию защиты сети, обусловленную как выбором ее топологии, так и распределением ресурсов на защиту сетевых элементов, необходимо в максимальной степени верно оценивать стратегию и действия атакующей стороны. Практическое применение данного подхода нашло и находит свое отражение в функционирующих и проектируемых сетях [6, 7, 8].

В целом модель RT представляется мощным универсальным инструментом в области современных проблем безопасности разнообразных сетей — природного, социального и технического характера, инструментом, который позволяет эффективно подойти к решению широкого спектра задач стойкости практически значимых сетевых конструкций.

## СПИСОК ЛИТЕРАТУРЫ:

1. Erdos P., Renyi A. Publ. Math. Inst. Hung. Acad. Sci. 5, 1960. P. 17–25.
2. Barabási A.-L., Albert R., Jeong H. Mean-field Theory for Scale-free Random Networks // Physica. 1999. A 272. P. 173–187.
3. Albert R., Jeong H., Barabási A.-L. Error and Attack Tolerance of Complex Networks // Nature. 2000. 406. P. 378–482.
4. Петренко С. А., Симонов С. В. Управление информационными рисками: Экономически оправданная безопасность. М.: АйТи-Пресс, 2004. — 381 с.
5. Гурски Э., Галиндо Ф., Лапорт Р., Линкова Ф., Михайлов Н., Труфанов А., Журавлев Д., Россодивита А., Шубников Е., Николаева Н., Арефьева Е. Роль этики в противодействии химическим, биологическим, радиационным и ядерным угрозам // Актуальные проблемы формирования культуры безопасности жизнедеятельности населения. Материалы XIII Международной научно-практической конференции по проблемам защиты населения и территорий от чрезвычайных ситуаций. 14–15 мая 2008 г. Москва, Россия. М.: ИПП «КУНА», 2008. С. 106–111.
6. Тихомиров А. А. Организация межотраслевого управления / Отв. ред. Н. Я. Петраков; АН СССР, Центр. экон.-мат. ин-т, Науч. совет по комплекс. пробл. «Оптимальное планирование и управление народным хозяйством». М.: Наука, 1986. — 112 с.
7. URL: <http://www.pitt.edu/~super1/>.
8. Rossodivita A., Galindo F., Gursky E., LaPorte R., Linkov F., Shubnikov E., Stikova E., Trufanov A., Vinograd N. Interagency Collaboration Topology for Counteracting Global Threats International Preparedness & Response to Emergencies & Disasters // Program and book of abstracts (11–14 January 2010, Tel Aviv, Israel). 2010. P. 78.

